BIBLIOGRAFÍA

Merril I Skolnik
Introduction to Radar System
Mc Graw Hill 1981

Merril I Skolnik Radar Handbook Mc Graw Hill 1990

Allan W Scott
Understanding Microwaves
John Wiley 1993

George Kennedy
Electronic Communication System
Mc Graw Hill 1988

Airsys Atm. Inc.
Instruction Manual
Airsys Inc. 1998

M Matrix

Curso de Radar

Danae 1981

LISTA DE TABLAS

Tabla	4 1	Modos de Interrogación	42
Tabla.	61	Bandas de frecuencias asignadas a comunicaciones	61
Tabla.	8 1	Amplitud y fase de antenas	123
Tabla	8 2	Amplitud y fase de antenas superior e inferior	125

LISTA DE FIGURAS

Figura	2 1	Proposito del Radar	16
Figura.	22	Velocidad del blanco no radial	21
Figura.	23	Radar C W	22
Figura.	24	Radar C W con amplificación de F.I.	23
Figura	25	Signo de velocidad radial	24
Figura	26	Variación de frecuencia	25
Figura.	27	Variación de la portadora con respecto al tiempo	25
Figura.	28	Radar de Frecuencia Modulada	26
Figura	3 1	Presentación de Radar de Superficie	28
Figura.	3 2	Radar de Superficie sobre torre de control	29
Figura.	3 3	Torre especial para Radar de Superficie	30
Figura.	3 4	Radar de Precisión fijo	32
Figura.	3 5	Radar de Precisión móvil	32
Figura.	3.6	Presentación de Radar de Precisión	33
Figura.	3 7	Antena de Radar de Aproximación	34
Figura	38	Sala de equipo	35
Figura.	3.9	Radar de Ruta Primario	36
Figura.	3.10	Antena de Radar de Ruta	37
Figura.	4.1	Principio de operación	38
Figura.	42	Modo de Interrogación	41
Figura	4.3	Modo de Interrogación con P2	42
Figura.	4.4	Respuesta del Transponder	44
Figura.	4.5	Organización de una estación de Radar Secundario	47
Figura.	4.6	Antena de Radar Secundario	48
Figura.	4.7	Transmisor/Receptor de un Radar Secundario	49
Figura.	5.1	Parámetros de Radar Primario	52
Figura.	5.2	Sistema típico de Radar Primario	53

Figura	5 3	Ciclo completo	54
Figura	5 4	Receptor de Radar Primario	55
Figura	5 5	Configuracion de una estación de Radar Primario	57
Figura	5 6	Tiempo de retardo entre transmisores	58
Figura	7 1	Determinacion de Azimut	64
Figura	72	Información de Azimut	66
Figura	73	Movimiento del Limacon	68
Figura	7 4	El giro del Limacon origina la modulación	69
Figura	7 5	Señal variable de 30 Hz	71
Figura.	76	Patron de Radiacion	71
Figura	77	Patron de Radiación de un par de ranuras	72
Figura	78	Patrón de Radiación originado por tres ranuras	74
Figura	79	Giro del patron de Radiación	77
Figura	7 10	Principio de operación del Tacan	91
Figura	7 11	Modulacion del Tacan	94
Figura	8 1	Planos ILS	99
Figura	8 2	Direccion eje de pista	102
Figura	8 3	Abertura de haz	103
Figura.	8 4	Porcentajes de modulacion	105
Figura.	8 5	Referencia nula	106
Figura	86	Combinacion de diagramas	107
Figura.	8 7	Variación total	109
Figura	88	Diagrama total de Radiación	110
Figura	89	Diagramas de Radiación	111
Figura.	8 10	Antena parabólica	113
Figura	8 11	Patrón de Radiación	114
Figura	8 12	Radiación de Clearance	115
Figura	8 13	Patrones combinados	116
Figura	8 14	Onda directa y reflejada	117
Figura.	8 15	Senda de descenso	120

Figura	8 16	Diagrama de Portadora y Bandas Laterales	121
Figura	8 17	Portadora de antena inferior	125
Figura	8 18	Diagrama de Bandas Laterales	126
Figura	8 19	Composicion de los campos con referencia nula	127
Figura	8 20	Implementacion del sistema ILS	128
Figura	8 21	Uniones Electricas(1)	132
Figura	8 22	Uniones Electricas(2)	136
Figura	91	Torre de Control	142
Figura	92	Area de Control Aerodromo	143
Figura	93	Control Aerodromo	145
Figura	94	Control Aproximacion Radar	146
Figura	95	Control de Aproximación no Radar	147
Figura	96	Control de Area	151
Figura	97	Centro de Control	152
Figura	10 1	Red fija de Telecomunicaciones	155
Figura	10 2	Red de estaciones Terrenas	156
Figura	10 3	Canales de Microondas	157
Figura	10 4	Estaciones Aire/Tierra remotas	158
Figura	10 5	Estaciones Aire/Tierra espacio superior	159
Figura	10 6	Estacion VOR	160
Figura	10 7	Radioayudas VOR/DME	163
Figura	108	Radiofaros No Direccionales	165
Figura	10 9	Antenas sistema ILS	166
Figura	10 10	Sistemas ILS	168
Figura	10 11	Sistemas de Radar Primario	170
Figura	10 12	Sistemas de Radar Secundario	171
Figura	11 1	Satelites de Comunicaciones	173
Figura	11 2	Centro de Control	174
Figura	113	Terminal de Trabajo	177

ANEXO 1

SISTEMAS CON FUNCIÓN MODO S

A.1 Características de las señales en el espacio de la interrogación. En los parrafos que siguen se describen las señales en el espacio que pueda esperarse que aparezcan en las antenas del respondedor

Nota: Puesto que las señales pueden ser corrompidas durante su propagación, algunas tolerancias de duracion, separacion y amplitud de los impulsos de interrogación son mas criticas.

- A.1.1 Frecuencia portadora de interrogación. La frecuencia portadora de todas las interrogaciones (transmisiones de enlace ascendente) de instalaciones terrestres con funcion modo S sera 1.030 ± 0.01 MHz
- A.1.2 Espectro de interrogación. El espectro de interrogación en modo S en el entorno de la frecuencia portadora no excederá de los límites especificados en la figura A 1

Nota: El espectro de interrogación en Modo S depende de los datos. La anchura máxima del espectro corresponde a una interrogación cuyos binarios son todos iguales a UNO

A1.3 Polarización. La polarización de las transmisiones de interrogación y de control sera nominalmente vertical

A.1.4 Modulación. La frecuencia portadora de las investigaciones en Modo S estará modulada por impulsos Además el impulso de datos P₆ tendrá una modulación interna de fase

	Duración	Tolerancia de duración	Tiempo de aumento		Tiempo de disminución	
Impulso			Minimo	Мехіто	Minimo	Máximo
P ₁ , P ₂ , P ₃ , P ³	8,0	+0,1	0,05	0,1	0,05	0,2
P. (corto)	0,8	±0,1	0,05	0,1	0.05	0,2
P. (largo)	1,6	±0,1	0,05	0,1	0,05	0,2
P. (corto)	16,25	±0,25	0,05	0,1	0,05	0,2
P. (largo)	30,25	±0,25	0,05	0,1	0,05	0.2

Tabla 1 Formas de los impulsos - en Modo S y en intermodo

A.1.4.1 Modulación por impulsos. Las interrogaciones en intermodo y en Modo S constaran de una secuencia de impulsos. Los impulsos que pueden utilizarse para formar una interrogacion determinada serán denominados P₁, P₂,P₃,P₄,P₅ y P₆. Las formas de los impulsos serán las definidas en la Tabla 1. Todos los valores se indican en microsegundos

Nota - Los impulsos de 8 microsegundos utilizados en las interrogaciones en intermodo y Modo S tienen una forma idéntica a la de los Modos A y C.

A.1.4.2 Modulación de la fase. Los impulsos P₆ cortos (16,25μs) y largo (30,25μs) de A 1 4 1 tendrán una modulación de fase diferencial binaria interna que consiste en inversiones de fase de la portadora de 180° a un régimen de 4 megabitios por segundo.

A.1.4.2.1 Duración de la inversión de fase. La duración de la inversión de fase será inferior a 0,08µs y habrá un avance (o retardo) uniforme de fase en toda la región de transición Durante la transición de fase no se aplicará ninguna modulación de amplitud.

A.1.4.2.2 Relación de fase. La tolerancia en relación de fase de 0° y de 180° entre "elementos" sucesivos y en la inversión de fase síncrona del impulso P_6 será de $\pm 5^{\circ}$.

Nota.- En Modo S un "elemento" es el intervalo de portadora de 0,25 µs entre inversiones posibles de fase de datos

A.1.5 Secuencias de impulsos y de inversiones de fase. Las interrogaciones estarán constituidas por las secuencias específicas de impulsos o de inversiones de fase descritas en A 1 4

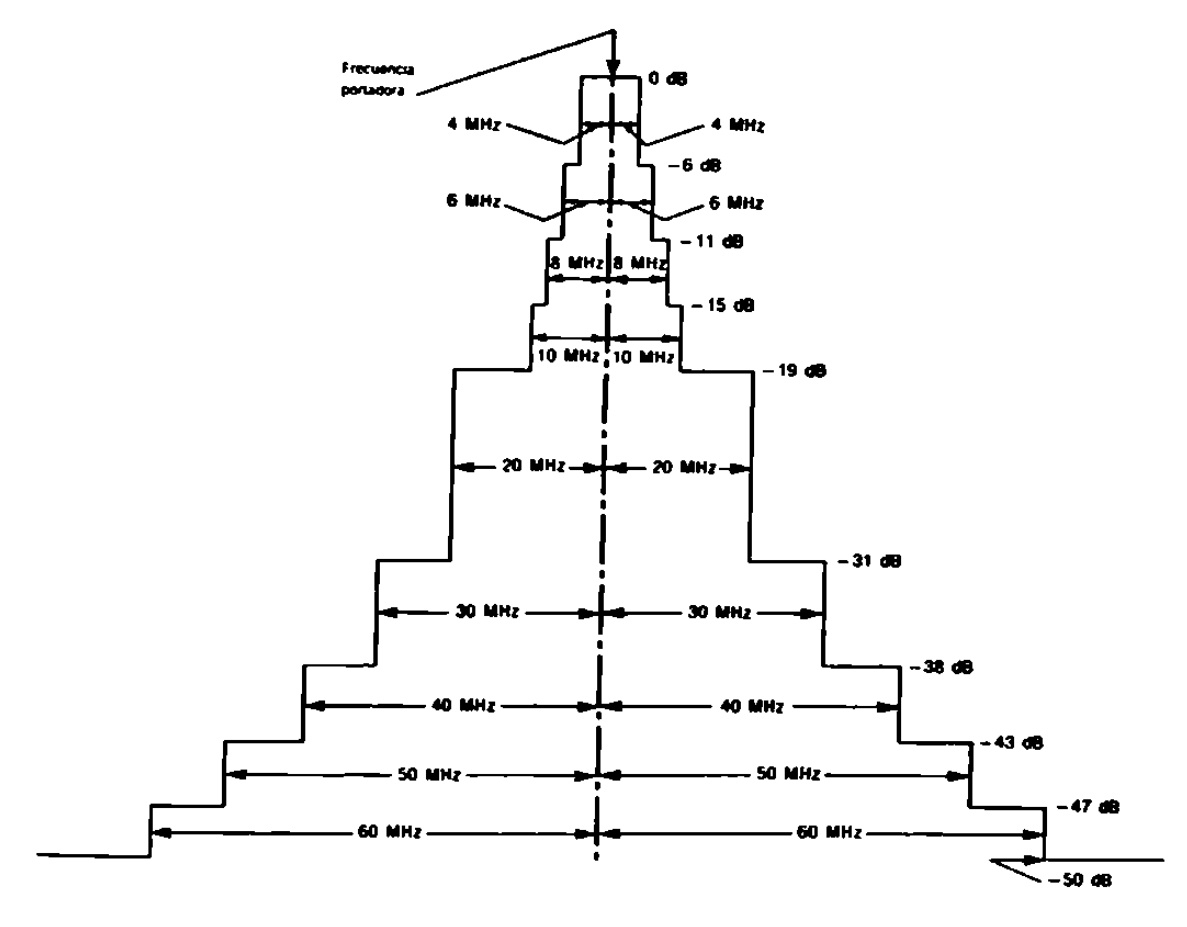


Fig A.1 Limites del espectro requerido por el transmisor del interrogador

A.1.5.1 Interrogaciones en intermodo.

A.1.5.1.1 Interrogación de llamada general en Modos A/C/S. Esta interrogación constará de tres impulsos: P₂, P₃ y P₄ largo, segun se indica en la figura A.2. Se transmitiran uno o dos impulsos de control P₂ solo, o P₁ y P₂ utilizando una configuración de antenas separadas para suprimir las respuestas de las aeronaves que esten en los lobulos laterales de la antena del interrogador.

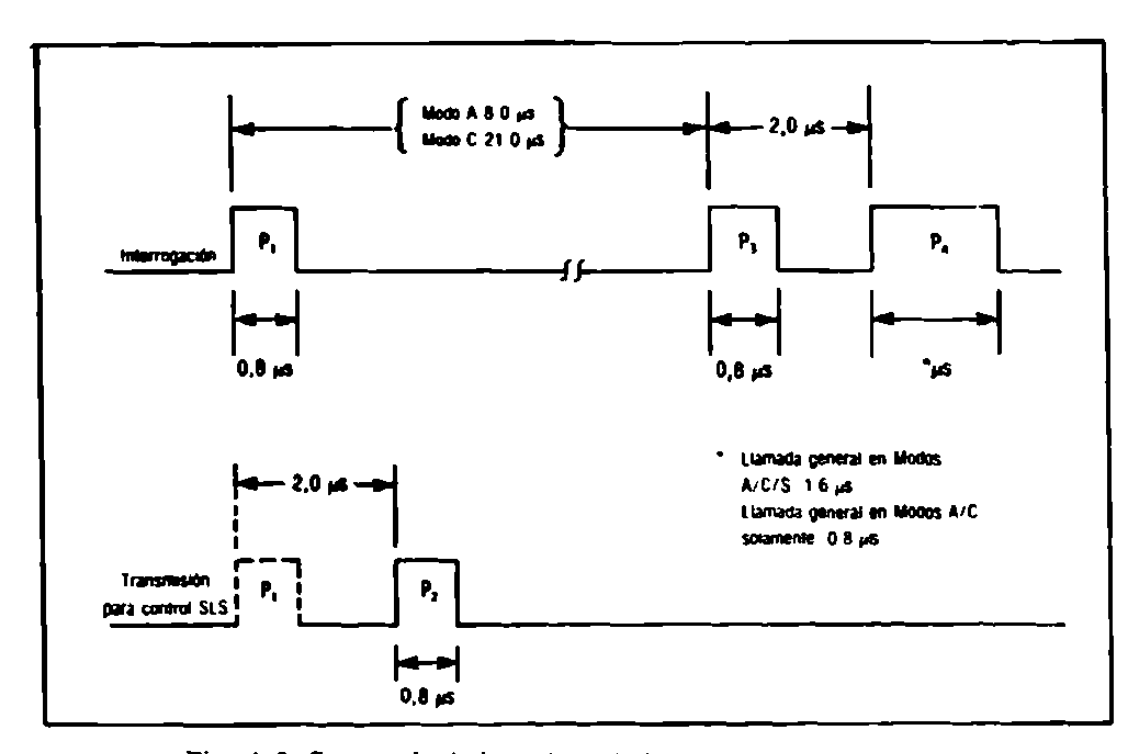


Fig A 2 Secuencia de impulsos de interrogación en intermodo

Nota - La interrogacion de llamada general en Modos A/C/S/ obtiene una respuesta en Modo A o Modo C (en función de la separación entre impulsos P₁ y P₃) a partir de un respondedor en Modos A/C, puesto que no reconoce el impulso P₄. El respondedor en Modo S reconoce el impulso P₄ y da una respuesta en Modo S. Esta interrogación puede utilizarse para conectar con una aeronave dotada de Modo S así como para vigilancia de aeronaves dotadas de equipo en Modos A/C.

- A.1.5.1.2 Interrogación de llamada general en Modos A/C- solamente. Esta interrogación sera identica a la interrogación de llamada general en Modos A/C/S, salvo que se utilizara el impulso P₄ corto
- Nota La interrogacion de llamada general en Modos A/C solamente obtiene una respuesta en Modo A o Modo C de un respondedor en Modos A/C. Los respondedores en Modo S reconocen el impulso P₄ corto y no responden a esta interrogación.
- A.1.5.1.3 Intervalos entre impulsos. Los intervalos entre los impulsos P_1 , P_2 y P_3 seran los mismos de A y C El intervalo entre los impulsos P_3 y P_4 será de $2 \pm 0.05 \mu s$.
- A.1.5.1.4 Amplitudes de los impulsos. Las amplitudes relativas entre los impulsos P₁, P₂ y P₃ se ajustaran a lo prescrito en capitulo 4. La amplitud de P₄ no diferirá en mas de 1dB de la amplitud de P₃
- A.1.5.2 Interrogación en Modo S. La interrogación en Modo S constará de tres impulsos P₁, P₂ y P₃ segun se indica en la fig A 3.
- Nota.- Al impulso P₆ le precede un par P₁-P₂ que suprime las respuestas de los respondedores en Modos A/C para evitar distorsiones síncronas debidas a la activación aleatoria proveniente de interrogaciones en Modo S. La inversión de fase síncrona de los impulsos P₆ es la señal de la temporización para la demodulación de una serie de intervalos (elementos) de 0,25 μs de duración. Esta serie de elementos empieza 0.5 μs después de la inversion de fase y termina 0.5 μs antes del borde posterior de P₆. Cada elemento puede, o no, estar precedido por una inversión de fase para codificar sus valores binarios de informacion

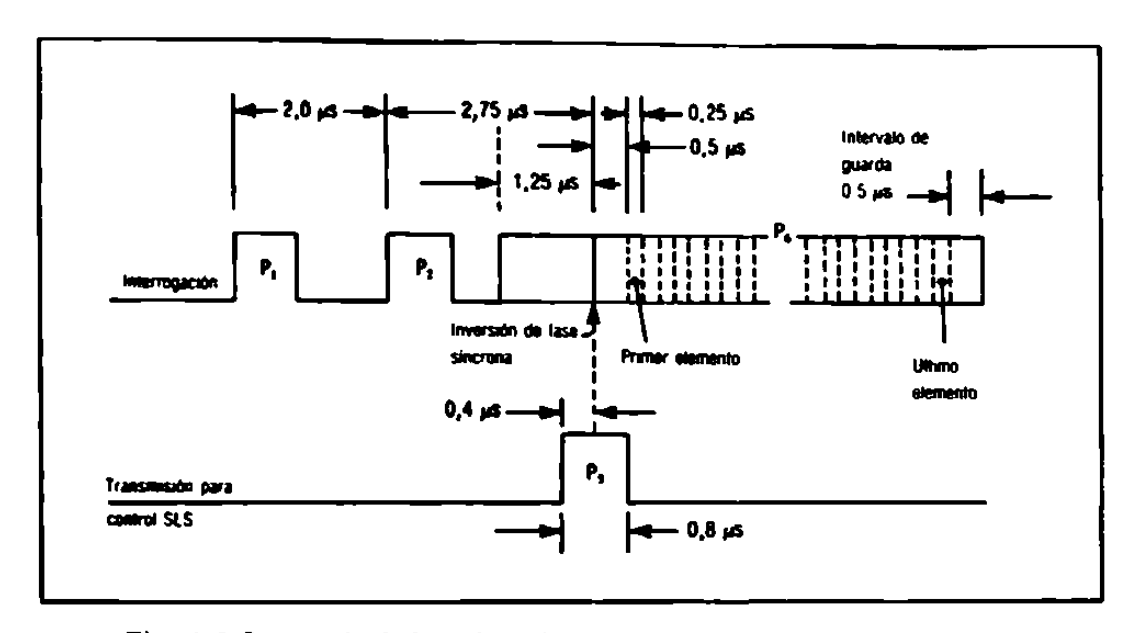


Fig A 3 Secuencia de impulsos de interrogación en modo S

A.1.5.2.1 Supresión de lóbulos laterales en Modo S. Los impulsos P₅ se utilizarán en las interrogaciones de llamada general en Modo S - solamente para evitar respuestas de las aeronaves en los lobulos laterales y posteriores de la antena. Cuando se utilicen, se transmitiran los impulsos P₅ mediante un diagrama de radiación de antenas separadas.

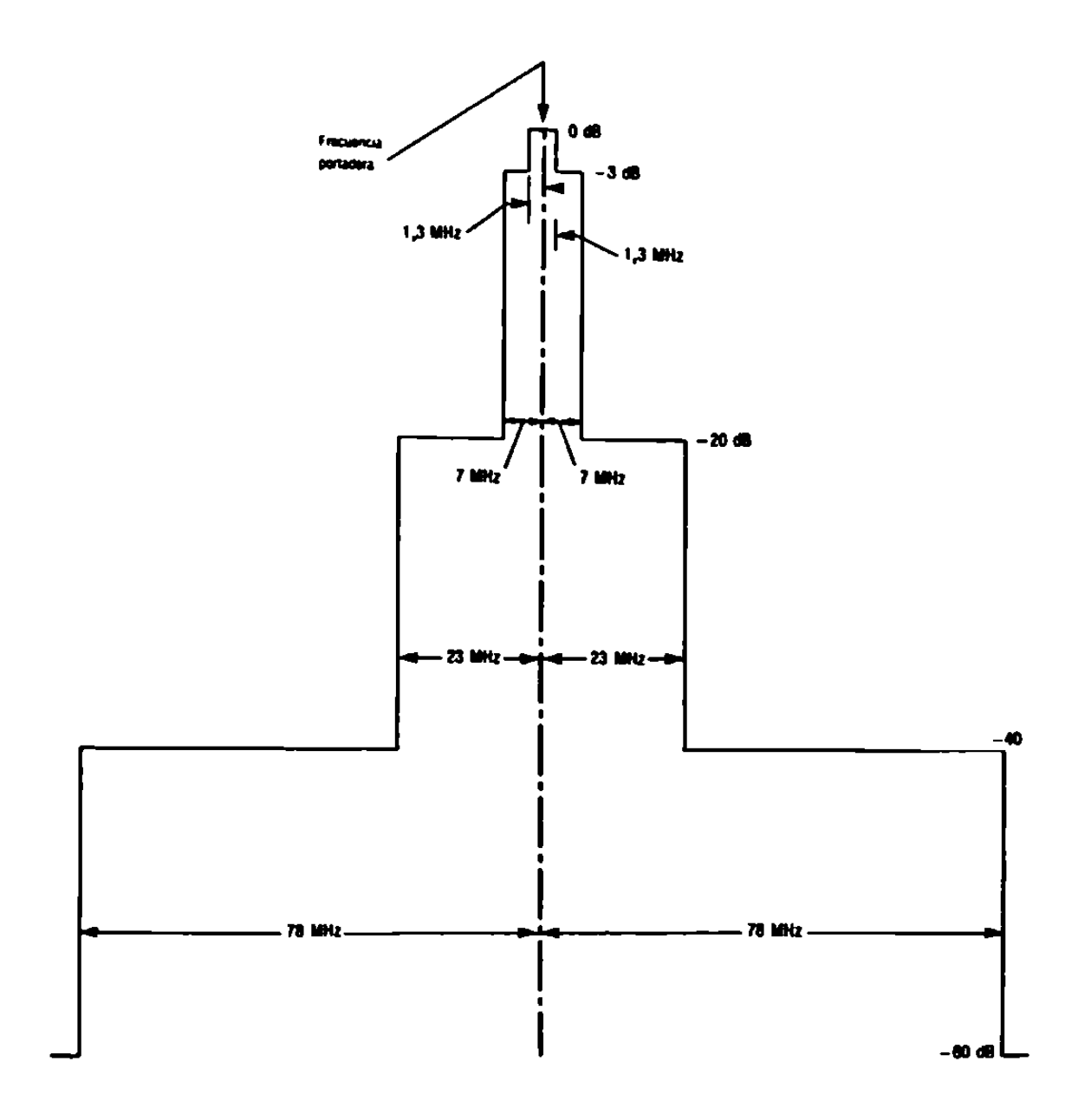


Fig A4 Limites del espectro requeridos para el transmisor del respondedor

Nota 1.- P_5 actua automaticamente Su mera presencia, si es de suficiente amplitud en el lugar de recepción, enmascara la inversión de fase síncrona de P_6 .

Nota 2 - El impulso P₅ puede utilizarse con otras interrogaciones en Modo S.

A.1.5.2.2 Inversión de fase síncrona. La primera inversión de fase del impulso P₆ será la inversión de fase síncrona. Constituirá la referencia de tiempo para las siguientes operaciones del respondedor que estén relacionadas con la interrogación.

A.1.5.2.3 Inversiones de fases de datos. Cada inversión de fases de datos solamente tendrá lugar a intervalos de tiempo (N multiplicando por 0,25) ± 0,02 μs (N igual o mayor a 2) después de la inversión de fase síncrona. El impulso P₆ de 16,25 μs contendrá como máximo 56 inversiones de fase de datos. El impulso P₆ de 30,25 μs contendrá como máximo 112 inversiones de fase de datos, él ultimo elemento, es decir el intervalo de 0,25 μs después de la última posición de inversión de fase de datos, estará seguido por un intervalo de guarda de 0,5 μs.

Nota - El intervalo de guarda de 0,5µs que sigue al ultimo elemento impide que el borde posterior de P₆ interfiera con el proceso de demodulación.

A.1.5.2.4 Intervalos. El intervalo entre los impulsos P_1 y P_2 será de 2 ± 0.05 μ s. El intervalo entre el borde anterior de P_2 y la inversión de fase síncrona de P_6 estará 2,75 \pm 0.05 μ s El borde anterior de P_6 estará 1.25 \pm 0.05 μ s por delante de la inversión de fase síncrona P_5 , si se trasmitiera, estará centrado en la inversión de fase síncrona; el borde anterior de P_5 estará 0,4 \pm 0,05 μ s por delante de la inversión de fase síncrona.

A.1.5.2.5 Amplitud de los impulsos. La amplitud de P₂ y la amplitud del primer μs de P₆ serán superiores a la amplitud de P₁ menos de 0,25 dB. Como característica exclusiva de los transientes de amplitud asociados con las inversiones de la fase, la variación de amplitud de P₆ será inferior a 1 dB y la variación de amplitud entre

elementos sucesivos de P₆ será inferior a 0,25 dB. La amplitud radiada de P₅ en la antena del respondedor será:

- a) Igual o mayor a la amplitud radiada de P₆ a partir de las transmisiones de lobulos laterales de la antena que radia P₆; y
- b) De un nivel inferior a 9 dB por debajo de la amplitud radiada de P₆ dentro del arco deseado de interrogación.

A.2 Características de las señales en el espacio de las respuestas.

- A.2.1 Frecuencia portadora de respuesta. La frecuencia portadora de todas las respuestas (transmisiones de enlace descendente) de los respondedores con función Modo S será de 1.090 ± 3 MHz para aeronaves que no puedan volar por encima de 4.572 m (15.000 ft) y será de 1.090 ± 1 MHz para las aeronaves que puedan volar por encima de dicho nivel
- A.2.2 Espectro de respuesta. El espectro de respuesta en Modo S en torno a la frecuencia portadora no excederá de los limites especificados en la fig. A.4.
- A.2.3 Polarización. La polarización de las transmisiones de respuesta será nominalmente vertical
- A.2.4 Modulación Las respuestas en Modo S constarán de un preámbulo y de un bloque de datos El preámbulo será una secuencia de 4 impulsos y el bloque de datos estará sometido a una modulación binaria de impulsos en posición a un régimen de datos de 1 megabito por segundo
- A.2.4.1 Formas de los impulsos. Las formas de los impulsos serán las definidas
 en la Tabla 2 Todos los valores se indican en microsegundos.

Duración de los	Tolerancia de	Tiempo d	e aumento	Tiempo de disminución	
impulsos	duración	Mínimo	Máximo	Mínimo	Máximo
0.5	± 0 05	0.05	0.1	0.05	0.2
10	± 0 05	0.05	0.1	0.05	0.2

Tabla 2 Forma de los impulsos de respuestas

A.2.5 Respuestas en Modo S. Las respuestas en Modo S serán las indicadas en la fig A 5 El bloque de datos en las respuestas Modo S constará de 56 o de 112 bitios de informacion

A.2.5.1 Intervalos entre impulsos. Todos los impulsos de respuesta comenzarán despues de un múltiplo definido de 0,5 μ s a partir del primer impulso transmitido. La tolerancia será en todos los casos de \pm 0,05 μ s.

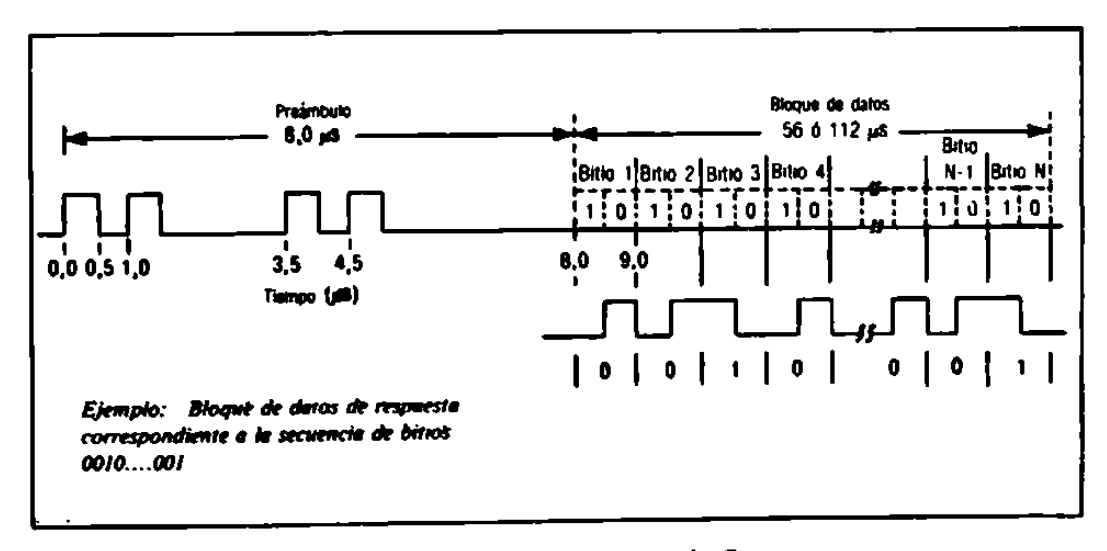
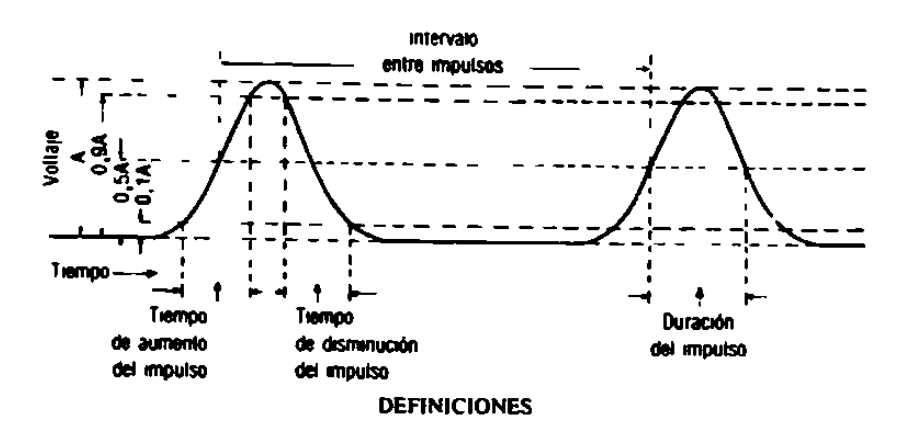


Fig.A.5 Respuesta en modo S.

- A.2.5.1.1 Preámbulo de respuesta. El preámbulo constará de 4 impulsos, cada uno de una duración de 0,5 μs. Los intervalos entre el primer impulso transmitido y el segundo, tercero y cuarto serán de 1, 3.5 y 4.5 μs respectivamente.
- A.2.5.1.2 Impulsos de datos de respuestas. El bloque de datos de respuesta comenzará 8 µs después del borde anterior del primer impulso transmitido. Se asignará a cada transmisión intervalos de 56 o de 112 bitios de 1µs de duración. Se transmitirá un impulso de 0,5 µs durante la primera o segunda mitad de cada intervalo. Cuando a un impulso transmitido en la segunda mitad del intervalo siga otro impulso transmitido en la primera mitad del siguiente intervalo, los dos impulsos se combinan y se transmitirá un impulso de 1µs
- A.2.5.2 Amplitudes de los impulsos. La variación de amplitud entre un impulso y cualquier otro impulso de respuesta en Modo S no excederá de 2 dB

ANEXO 2

DEFINICIONES DE LAS FORMAS DE ONDA, INTERVALOS Y PUNTOS DE REFERENCIA PARA SENSIBILIDAD Y POTENCIA DEL RADAR SECUNDARIO DE VIGILANCIA



Amplitud del impulso A. La amplitud máxima de voltaje de la envolvente del impulso.

Duración de la inversión de fase. El intervalo de tiempo entre los puntos situados a 10° y a 170° de una inversión de fase.

Duracion del impulso. El intervalo de tiempo entre los puntos 0,5A de los bordes anterior y posterior de la envolvente del impulso.

Intervalo entre impulsos. El intervalo de tiempo entre los puntos 0,5A de los bordes anteriores del primer impulso y del segundo.

Intervalos de tiempo. Los puntos de referencia para medir los intervalos de tiempo son:

- a) el punto 0,5A en el borde anterior del impulso
- b) el punto 0,5A en el borde posterior del impulso, o
- c) el punto a 90° de una inversión de fase.

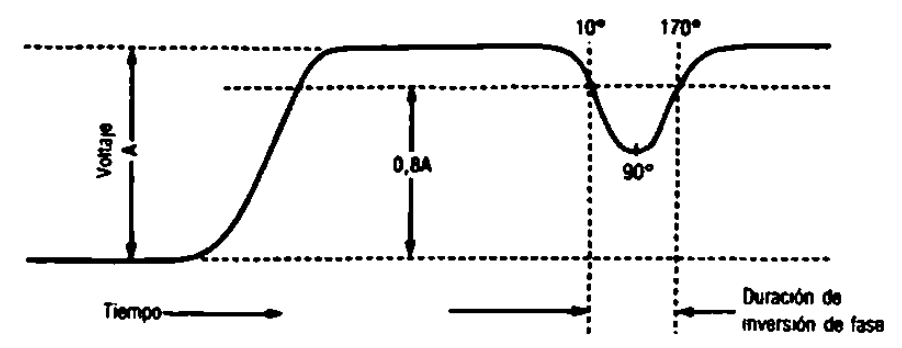
Inversión de fase. Un cambio de fase de 180° de la portadora de radiofrecuencias.

Punto de referencia para sensibilidad y potencia del respondedor. El extremo en el lado de la antena de la línea de transmision del respondedor.

Tiempo de aumento del impulso. El tiempo medio entre 0,1A y 0,9A en el borde anterior de la envolvente del impulso.

Tiempo de disminución del impulso. El tiempo medio entre 0,9A y 0,1A en el borde posterior de la envolvente del impulso.

Nota — Como aproximación del punto de 90° de la inversión de fase puede tomarse el punto de amplitud mínima de la parte transitoria de amplitud de la envolvente asociada con la inversión de fase y como aproximación para la duración de inversión de fase puede tomarse el intervalo de tiempo entre las puntos 0,8A de esta parte transitoria.



GLOSARIO

ADF Automatic Direction Finder

ASDE Airport Surface Detection Equipment

AFTN Aeronautical Fixed Telecomunication Network

ATM Air Trafic Management

ASR Airport Surveillance Radar

CAF Control Automático de Frecuencia

CNS Communication Navegation Surveillance

CTA Control de Tránsito Aéreo

CW Continuous Wave

CWFM Continuous Wave Frequency Modulated

DDM DIfference Depth Modulation

DME Distance Measuring Equipment

FAA Federal Aviation Administration

FI Frecuencia Intermedia

GHz 1×10^9 Hertz

GPS Global Position System

HF High Frequency

HZ Hertz

IFF Identification Friend or Foe

ILS Instrument Landing System

IFF/SIF Identification Friend or Foe/Selective Identification Feature

ICAO International Civil Aviation Organization

KHZ Kilo Hertz

MHZ Mega Hertz (10⁶ Hertz)

MN Milla Náutica

MSRR Monopulse Secundary Surveillance Radar

MTI Moving Target Indication

NOTAM Notice To Air Men

OACI Organización de la Aviación Civil Internacional

OTAN Organización del Tratado del Atlántico Norte

PSR Primary Surveillnce Radar

RADAR Radio Direction And Ranging

RCUR Receiver

RDF Radio Direction Finding

RF Radio Frecuencia

RPF Radio Position Finding

SENEAM Servicios a la Navegación en el Espacio Aéreo Mexicano

SPI Special Position Indication

SSR Secundary Surveillance Radar

TACAN Tactical Air Navigation

TP Trayectoria de Planeo

VHF Very High Frequency Onmidirectional

VOR Very High Frequency Onmidirectional Radio Range

W Watt

XMTR Transmisor

RESUMEN AUTOBIOGRÁFICO

Ing. Anibal Garza Peña

Candidato para el grado de:

MAESTRO EN CIENCIAS DE LA INGENIERÍA ELÉCTRICA CON ESPECIALIDAD EN ELECTRÓNICA

Tesis:

TECNOLOGÍAS DIGITALES Y COMPUTACIONALES EN SISTEMAS DE RADAR Y RADIOAYUDAS PARA CONTROL DE TRÁNSITO AÉREO

Campo de estudio: Facultad de Ingeniería Mecánica y Eléctrica

Datos personales Nació en Congregación Arcabuz Tamaulipas el 21 de noviembre

de 1952.

Hijo de. Reyes Garza Treviño y Mélida Peña Garza

Estudios Egresado de la Universidad Autónoma de Nuevo León en 1974 de

la carrera de Ingeniero Mecánico Electricista

Experiencia Docente Profesional: Maestro en el Departamento de Electrónica y

Comunicaciones en la FIME desde 1974

RESUMEN AUTOBIOGRÁFICO

Ing. Azael Elicerio Morales Candidato para el grado de:

MAESTRO EN CIENCIAS DE LA INGENIERÍA ELÉCTRICA CON ESPECIALIDAD EN ELECTRÓNICA

Tesis:

TECNOLOGÍAS DIGITALES Y COMPUTACIONALES EN SISTEMAS DE RADAR Y RADIOAYUDAS PARA CONTROL DE TRÁNSITO AÉREO

Campo de estudio. Facultad de Ingeniería Mecánica y Eléctrica

Datos personales. Nació en General Teran N.L. el 7 de junio

de 1945.

Hijo de: Manuel Elicerio Betancurt y Librada Morales de la Cerda (finada)

Estudios Egresado de la Universidad Autónoma de Nuevo León en 1980 de

la carrera de Ingeniero en Control y Computación

Experiencia Docente Profesional: Maestro en el Departamento de Electrónica y

Comunicaciones en la FIME desde 1986

